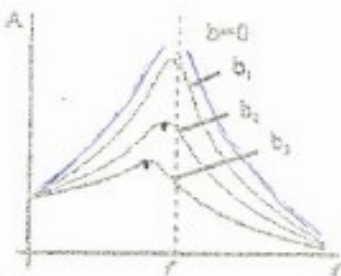


Παρακαλούμε να ληφθούν υπόψη οι ακόλουθες διορθώσεις:

1. Σχήμα 1.28 (σελίδα 23)

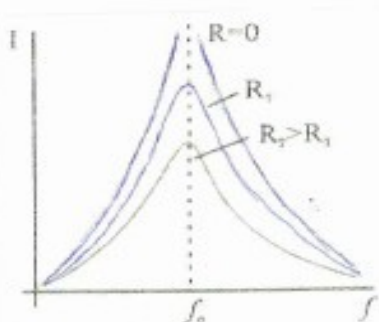


Το διάγραμμα του πλάτους μιας εξαναγκασμένης ταλάντωσης σε συνάρτηση με τη συχνότητα του διεγέρτη για διάφορες τιμές του b ($b_1 < b_2$). Στις ταλαντώσεις με απόσβεση η συχνότητα συντονισμού είναι λίγο μειούστερη από την f_0 . Όσο αυξάνεται η απόσβεση η αυξίωση της συχνότητας συντονισμού γίνεται μεγαλύτερη.

Το διάγραμμα του πλάτους μιας εξαναγκασμένης ταλάντωσης σε συνάρτηση με τη συχνότητα του διεγέρτη για διάφορες τιμές του b ($b_1 < b_2$). Στις ταλαντώσεις με απόσβεση η συχνότητα συντονισμού είναι λίγο μικρότερη από την f_0 . Όσο αυξάνεται η απόσβεση η αυξίωση της συχνότητας συντονισμού γίνεται μεγαλύτερη.

Σχ. 1.28

2. Σχήμα 1.30 (σελίδα 23)



Σχ. 1.30 Τα διαγράμματα του πλάτους της έντασης του ρεύματος I σε ένα κύκλωμα LC που εκτελεί εξαναγκασμένη ηλεκτρική ταλάντωση σε συνάρτηση με τη συχνότητα του διεγέρτη, για διάφορες τιμές της αντίστασης του κυκλώματος ($R_1 < R_2$).

Σχ. 1.30

Τα διαγράμματα του πλάτους της έντασης του ρεύματος I σε ένα κύκλωμα LC που εκτελεί εξαναγκασμένη ηλεκτρική ταλάντωση σε συνάρτηση με τη συχνότητα του διεγέρτη, για διάφορες τιμές της αντίστασης του κυκλώματος ($R_1 < R_2$).

3. Σχέση 1.33 (σελίδα 27)

$$x = 2A \sin\left(\frac{\omega_1 - \omega_2}{2}t\right) \eta \mu \left(\frac{\omega_1 + \omega_2}{2}t\right) \quad (1.33)$$